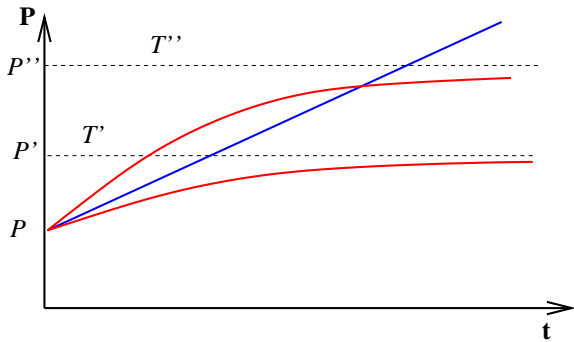


## Zjišťování netěsností vakuového systému

- skutečná netěsnost
- virtuální netěsnost(desorpce)



Typická místa netěsností:

- v místech svarů
- v místech kovových vývodů přes sklo
- v elektrických a optických průchodkách
- ve ventilech, v zábrusech, ve spojích (KF, ISO - K, CF,...)
- u kovových částí - pórovitost materiálu

Netěsnost se lépe hledá u skleněných aparatur. Problém hledání netěsností ulehčuje prověrka jednotlivých dílů před montáží.

## Hledače netěsností

Zpravidla využívají měření parciálních tlaků zkušebních plynů  
Zkušební plyn:

- plyn málo obsažený v atmosféře
- co nejmenší molekulová hmotnost (snadno proniká netěsností)

Nejčastěji se používá  $He$ ,  $H_2$ .

Hledače:

- vodíkový
- halogenový
- heliový

Na přesnost určení netěsnosti má vliv:

- množství zkušebního plynu přivedeného do systému
- poměr čerpací rychlosti systému a jeho objemu
- citlivost hledače netěsností
- vzájemná poloha netěsnosti a hledače

## Závislost na poměru čerpací rychlosti systému a jeho objemu

Proud plynu netěsností do aparatury za čas  $dt$  je dán  $I_N dt$ , množství odčerpaného plynu  $pSdt$ . Pak změna tlaku zkušebního plynu je dána rovnicí

$$Vdp = (I_N - Sp)dt$$

$$\frac{Vdp}{I_N - Sp} = dt$$

$$-\frac{V}{S} \ln(I_N - Sp) = t + konst$$

$$konst = -\frac{V}{S} \ln(I_N)$$

$$\ln\left(\frac{I_N - Sp}{I_N}\right) = - \frac{S}{V}t$$

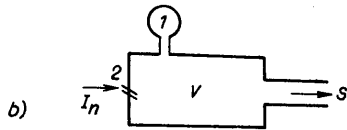
$$\frac{I_N - Sp}{I_N} = e^{-\frac{S}{V}t}$$

$$p = \frac{I_N}{S}[1 - e^{-\frac{S}{V}t}]$$

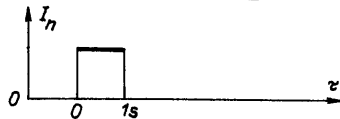
Jestliže v čase  $t_1$  přerušíme přítok zkušebního plynu začne tlak klesat

$$p = \frac{I_N}{S}[1 - e^{-\frac{S}{V}t_1}] e^{-\frac{S}{V}(t-t_1)}$$

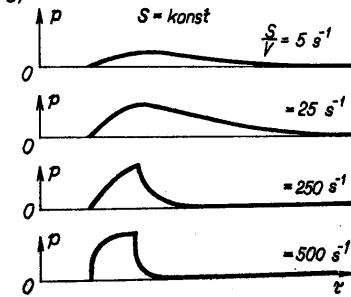
a)



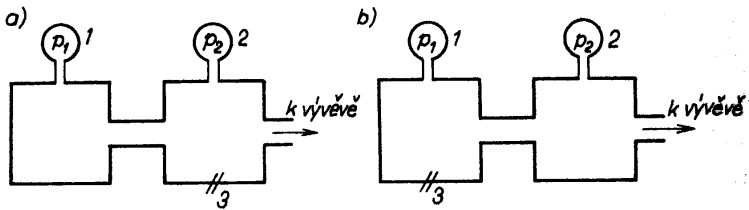
b)



c)



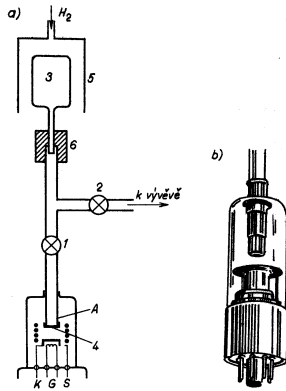
## Poloha hledače a netěsnosti



## Vodíkový hledač netěsností

- ionizační manometr s paladiovou přepážkou(1100 K)
- zkušební plyn -  $H_2$
- pracovní tlak -  $10^{-6} - 0.1 \text{ Pa}$
- minimální netěsnost -  $10^{-8} \text{ Pam}^3 s^{-1}$

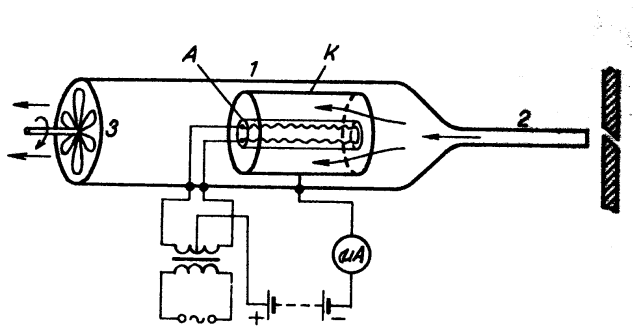
## Vodíkový hledač netěsností



## Halogenový hledač netěsností

- platinový válec(1200K) - emituje kladné ionty
- zvýšení emise v přítomnosti Cl
- zkušební plyn - freon
- pracovní tlak -  $10^{-4} - 10^5$  Pa
- minimální netěsnost -  $10^{-8}$   $Pam^3 s^{-1}$
- může pracovat i metodou přetlaku

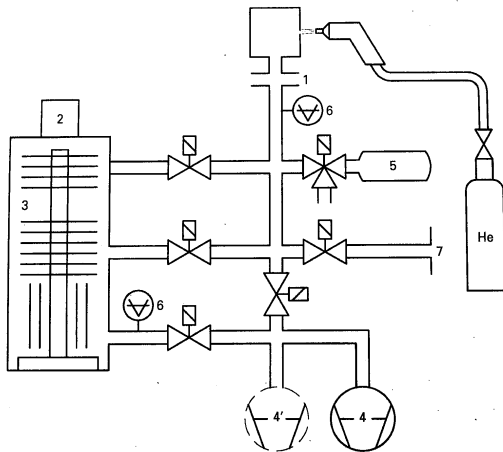
## Halogenový hledač netěsností



## Heliový hledač netěsností

- hmotový spektrometr
- zkušební plyn - He
- pracovní tlak -  $< 10^{-2}$  Pa
- minimální netěsnost -  $10^{-13} \text{ Pam}^3 \text{s}^{-1}$
- může pracovat i metodou přetlaku

# *Heliový hledač netěsností*



## Heliový hledač netěsností



## Kalibrovaná netěsnost

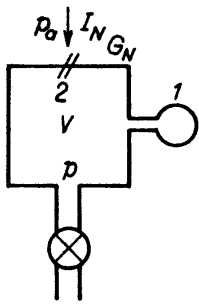
- vakuový prvek s definovanou vodivostí
- úzká skleněná kapilára
- difúzní netěsnost - křemenná přepážka - difúze He
- při proudu plynu  $10^{-8} \text{ Pam}^3\text{s}^{-1}$  a tlaku testovacího plynu v zásobníku 0,2 MPa, nastane pokles proudu plynu o 10% za 10 let

## Jiné metody hledání netěsností

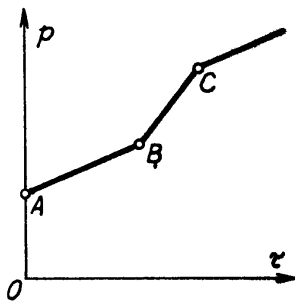
- manometr, diferenciální manometr
- diferenciální manometr
- bublinky ve vodě
- mýdlové bubliny
- u skleněných aparatur - Ruhmkorffův induktor, nebo Teslův transformátor

## Hledání netěsností pomocí manometru

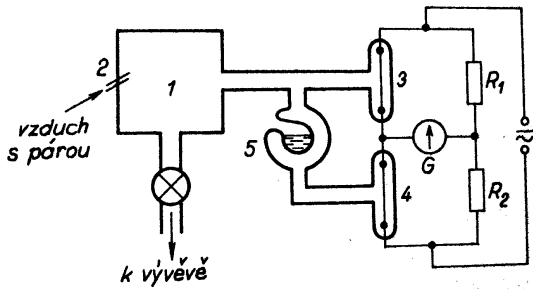
a)



b)



## Hledání netěsností pomocí diferenciálního manometru



## Manometr, diferenciální manometr

- ionizační, nebo odporový manometr
- zkušební plyn -  $CO_2$ ,  $H_2$ , aceton, líh
- pracovní tlak - podle použitého manometru
- minimální netěsnost pro diferenciální zapojení ionizačních manometrů  $10^{-10} \text{ Pam}^3 \text{s}^{-1}$

## Manometr, diferenciální manometr

- ionizační, nebo odporový manometr
- zkušební plyn -  $CO_2$ ,  $H_2$ , aceton, líh
- pracovní tlak - podle použitého manometru
- minimální netěsnost pro diferenciální zapojení ionizačních manometrů  $10^{-10} \text{ Pam}^3 \text{s}^{-1}$

## *Ruhmkorffův induktor a Teslův transformátor*

---

- princip - výboj v plynech
- pracovní tlak 1-100 Pa
- vhodná metoda pro skleněné aparatury
- Ruhmkorffův induktor - nízká frekvence( $\sim 10^1 \text{ Hz}$ ), vn transformátor(železné jádro)
- Teslův transformátor - vysoká frekvence( $\sim 10^5 \text{ Hz}$ ), vn transformátor se vzduchovým jádrem

*Tabulka:* Citlivost metod hledání netěsností

| Metoda               | tlak [Pa]      | min. netěsnost [ $Pam^3s^{-1}$ ] |
|----------------------|----------------|----------------------------------|
| Teslův transformátor | 1 – 100        | $10^{-3} – 10^{-4}$              |
| bublinky ve vodě     | $2 \cdot 10^5$ | $10^{-7}$                        |
|                      | $4 \cdot 10^5$ | $10^{-8}$                        |
|                      | $9 \cdot 10^5$ | $10^{-9}$                        |
| halogenový hledač    | $2 \cdot 10^5$ | $3 \cdot 10^{-8}$                |
|                      | $4 \cdot 10^5$ | $7 \cdot 10^{-9}$                |
|                      | $6 \cdot 10^5$ | $3 \cdot 10^{-9}$                |
| He hledač            | $2 \cdot 10^5$ | $5 \cdot 10^{-9}$                |

*Tabulka:* Citlivost metod hledání netěsností - podtlak

| Metoda                                       | tlak [Pa]        | min. netěs. [ $Pam^3s^{-1}$ ] |
|--|------------------|-------------------------------|
| Odporový manometr                            | $0.1 - 100$      | $10^{-6}$                     |
| ionizační manometr                           | $10^{-6} - 0.1$  | $10^{-7}$                     |
| ionizační manometr dif.zap.                  | $10^{-6} - 0.1$  | $10^{-10}$                    |
| ionizační manometr<br>s paladiovou membránou | $10^{-6} - 0.1$  | $10^{-8}$                     |
| halogenový hledač                            | $10^{-4} - 10^5$ | $10^{-8}$                     |
| He hledač                                    | $< 10^{-2}$      | $10^{-13}$                    |